

# 半直线上Kortewego-de Vries方程的Laguerre谱配置方法

王其霞, 苗伊浩, 王天军

河南科技大学 数学与统计学院, 河南 洛阳

Email: wangtianjun64@163.com

收稿日期: 2020年9月1日; 录用日期: 2020年9月17日; 发布日期: 2020年9月24日

---

## 摘要

以 Laguerre-Gauss-Radau 节点为配置点, 用带松弛因子的 Lagrange 插值函数逼近半直线上的 Kortewego-de Vries 方程初边值问题的理论解, 给出算法格式和相应的数值结果, 表明所提算法格式的有效性和高精度。对理论解中参数的不同取值, 通过适当地选择插值函数中的松弛因子, 数值解可以很好地匹配理论解, 而且所给算法对长时间的计算仍然有效。

---

## 关键词

Kortewego-de Vries 方程初边值问题, Laguerre 函数谱配置方法, Laguerre-Gauss-Radau 节点, 半直线

---

# Generalized Laguerre Spectral-Collocation Method for KdV Equations on the Half Line

Qixia Wang, Yihao Miao, Tianjun Wang

College of Mathematics & Statistics, Henan University of Science & Technology, Luoyang Henan  
Email: wangtianjun64@163.com

Received: Sep. 1<sup>st</sup>, 2020; accepted: Sep. 17<sup>th</sup>, 2020; published: Sep. 24<sup>th</sup>, 2020

---

## Abstract

Interpolation function approximations with relaxation factor by using Laguerre-Gauss-Radau nodes as collocation points to the Korteweg-de Vries equation on semi-infinite intervals are considered. The validity and high accuracy of the proposed algorithm are demonstrated. By choosing

文章引用: 王其霞, 苗伊浩, 王天军. 半直线上 Kortewego-de Vries 方程的 Laguerre 谱配置方法[J]. 应用数学进展, 2020, 9(9): 1583-1588. DOI: 10.12677/aam.2020.99186

**the relaxation factor of the interpolation function properly, the numerical solution can match the theoretical solution well, and the algorithm is still valid for a long time.**

## Keywords

**Initial-Boundary Value Problem of Kortewego-de Vries Equations, Spectral Collocation Method of Laguerre Functions, Laguerre-Gauss-Radau Nodes, The Half Line**

Copyright © 2020 by author(s) and Hans Publishers Inc.

This work is licensed under the Creative Commons Attribution International License (CC BY 4.0).

<http://creativecommons.org/licenses/by/4.0/>



Open Access

## 1. 引言

记  $R^+ = \{x | 0 < x < \infty\}$  为简单, 记  $\frac{\partial u}{\partial z} = \partial_z u$ 。下式为半直线上 **Kortewego-de Vries (KdV)** 方程初边值

问题[1] [2] [3]:

$$\begin{cases} \partial_t u + \gamma u \partial_x u + \nu \partial_x^3 u = 0, & x \in R^+, t > 0, \\ u(x, t), \partial_x u(x, t) \rightarrow 0, & x \rightarrow +\infty, t \geq 0, \\ u(x, 0) = g_0(x), & x \in R^+, \\ u(0, t) = g_1(t), & t \geq 0. \end{cases} \quad (1)$$

其中  $\gamma$  和  $\nu$  是常数。文献[4] [5] [6]用谱方法或有限元/b-样条有限元方法研究有界区域上 **KdV** 方程的数值解, 针对方程(1)中的参数  $\gamma, \nu$  的不同取值, 文献[7] [8]利用空间 Hermite 谱配置方法、时间有限差分方法或 Chebyshev-Hermite 多项式时空谱配置方法求解其 Cauchy 问题的数值解; 文献[9]用 Laguerre 拟谱方法研究了半直线上非线性热传导方程的数值解。针对问题(1)的孤波解的性态, 用含有因子  $e^{-\beta x/2}$  ( $\beta > 0$ ) 的插值函数可以更好地逼近问题的理论解, 同时通过适当选取伸缩因子  $\beta$  可以改进数值误差精度。另外, 用 Gauss 型节点得到的 Lagrange 插值多项式, 与其相关的高阶微分矩阵是一阶微分矩阵的乘积, 这为实际计算带来极大的方便。

## 2. 基于 Gauss 型节点的 Lagrange 插值函数及其微分矩阵

次数为  $l$  的广义拉盖尔多项式定义为[9]:

$$L_l^{(\alpha, \beta)}(x) = \frac{1}{l!} x^{-\alpha} e^{\beta x} \partial_x^l (x^{l+\alpha} e^{-\beta x}), l = 0, 1, \dots \quad (2)$$

广义拉盖尔函数定义为:

$$\tilde{L}_l^{(\alpha, \beta)}(x) = e^{-\frac{1}{2}\beta x} L_l^{(\alpha, \beta)}(x), l = 0, 1, \dots \quad (3)$$

特别,  $L_l^{(\beta)}(x) = L_l^{(0, \beta)}(x)$ ,  $\tilde{L}_l^{(\beta)}(x) = e^{-\frac{1}{2}\beta x} L_l^{(\beta)}(x)$ 。

令  $x_j$  ( $0 \leq j \leq N$ ) 是  $x \partial_x L_{N+1}^{(\beta)}(x) = 0$  的根。以  $x_j$  为节点的通常的 Lagrange 插值基函数为[9] [10] [11]

$$\varphi_j^{(\beta)}(x) = \frac{e^{-\beta x/2}}{\beta(N+1)e^{-\beta x_j/2}} \frac{x \partial_x L_{N+1}^{(\beta)}(x)}{(x_j - x) L_{N+1}^{(\beta)}(x_j)}, j = 0, 1, \dots, N$$

对任意  $u(x) \in C(R^+)$ , 其 Lagrange 插值多项式为:

$$p_N^{(\beta)}(x) = \sum_{j=0}^N u(x_j) \varphi_j^{(\beta)}(x), x \in R^+.$$

对  $p_N(x)$  求  $m$  阶导数得,

$$\partial_x^m p_N^{(\beta)}(x) = \sum_{j=0}^N u(x_j) \partial_x^m \varphi_j^{(\beta)}(x).$$

令

$$D^{(m)} = \left( \partial_x^m \varphi_j^{(\beta)}(x_k) \right)_{0 \leq k, j \leq N}, \quad D := D^{(1)} = \left( d_{k,j}^{(\beta)} = \partial_x \varphi_j^{(\beta)}(x_k) \right),$$

则由文献[9] [10] [11]

$$d_{k,j}^{(\beta)} = \begin{cases} \frac{\tilde{L}_{N+1}^{(\beta)}(x_k)}{(x_k - x_j) \tilde{L}_{N+1}^{(\beta)}(x_j)}, & k \neq j, \\ -\frac{(N+1)\beta}{2}, & k = j = 0, \\ 0, & k = j \neq 0. \end{cases} \quad (4)$$

$$D^{(m)} = D^m. \quad (5)$$

特别,

$$D^{(3)} = \left( \tilde{d}_{k,j}^{(\beta)} = \partial_x^3 \varphi_j^{(\beta)}(x_k) \right)_{0 \leq k, j \leq N}.$$

### 3. KdV 方程的谱配置方法

#### 3.1. KdV 方程的谱配置格式

在式(1)中去  $\gamma = \nu = 1$ , 考虑 KdV 方程的初边值问题:

$$\begin{cases} \partial_t u + u \partial_x u + \partial_x^3 u = 0, & x \in R^+, t > 0, \\ u(x, t), \partial_x u(x, t) \rightarrow 0, & x \rightarrow +\infty, t \geq 0, \\ u(x, 0) = g_0(x), & x \in R^+, \\ u(0, t) = g_1(t), & t \geq 0. \end{cases} \quad (6)$$

用  $w_N(x, t) = \sum_{j=0}^N u(x_j, t) \varphi_j^{(\beta)}(x), x \in R^+$ , 逼近式(6)的解  $u(x, t)$ , 将其代入式(6), 得

$$\begin{cases} \partial_t w_N(x, t) + w_N(x, t) \partial_x w_N(x, t) + \partial_x^3 w_N(x, t) = 0, \\ x = x_k, k = 1, 2, \dots, N, t > 0 \\ w_N(x, 0) = g_0(x), x = x_k, k = 0, 1, \dots, N, \\ w_N(0, t) = g_1(t), t \geq 0 \end{cases} \quad (7)$$

式(7)等价于

$$\begin{cases} \partial_t u_k(t) = -u_k(t) \sum_{j=0}^N u_j(t) d_{k,j}^{(\beta)} \\ -\sum_{j=0}^N u_j(t) \tilde{d}_{k,j}^{(\beta)}, u_j(t) = u(x_j, t), k = 1, 2, \dots, N, \\ u_k(0) = g_0(x_k), k = 0, 1, \dots, N, \\ u_0(t) = g_1(t). \end{cases} \quad (8)$$

令  $X(t) = (u_1(t), u_2(t), \dots, u_N(t))^T$ ,  $X_0 = (g_0(x_1), g_0(x_2), \dots, g_0(x_N))^T$ , 及

$$A = \begin{pmatrix} d_{1,1}^{(\beta)} & d_{1,2}^{(\beta)} & \cdots & d_{1,N}^{(\beta)} \\ d_{2,1}^{(\beta)} & d_{2,2}^{(\beta)} & \cdots & d_{2,N}^{(\beta)} \\ \vdots & \vdots & \ddots & \vdots \\ d_{N,1}^{(\beta)} & d_{N,2}^{(\beta)} & \cdots & d_{N,N}^{(\beta)} \end{pmatrix}, B = \begin{pmatrix} \tilde{d}_{1,1}^{(\beta)} & \tilde{d}_{1,2}^{(\beta)} & \cdots & \tilde{d}_{1,N}^{(\beta)} \\ \tilde{d}_{2,1}^{(\beta)} & \tilde{d}_{2,2}^{(\beta)} & \cdots & \tilde{d}_{2,N}^{(\beta)} \\ \vdots & \vdots & \ddots & \vdots \\ \tilde{d}_{N,1}^{(\beta)} & \tilde{d}_{N,2}^{(\beta)} & \cdots & \tilde{d}_{N,N}^{(\beta)} \end{pmatrix}, C = \begin{pmatrix} d_{1,0}^{(\beta)} & \cdots & 0 \\ 0 & \cdots & 0 \\ \vdots & \ddots & \vdots \\ 0 & \cdots & d_{N,0}^{(\beta)} \end{pmatrix}, F = \begin{pmatrix} \tilde{d}_{1,0}^{(\beta)} \\ \tilde{d}_{2,0}^{(\beta)} \\ \vdots \\ \tilde{d}_{N,0}^{(\beta)} \end{pmatrix}$$

式(8)的矩阵形式为

$$\begin{cases} \frac{dX(t)}{dt} = -BX(t) - X(t) \cdot * (AX(t)) - g_1(t)CX(t) - g_1(t)F, \quad t > 0 \\ X(0) = X_0, \end{cases} \quad (9)$$

其中符号 “ $\cdot *$ ” 表示对应位置元素相乘。

### 3.2. 数值结果

用格式(9)求解式(6)。在时间方向用步长为  $\tau$  的 Crank-Nicolson 格式离散式(9), 得

$$\begin{cases} \left( I + \frac{1}{2}\tau(B + g_1(t + \tau)C) \right) X(t + \tau) \\ = \left( I - \frac{1}{2}\tau(B + g_1(t)C) \right) X(t) - \frac{1}{2}\tau(X(t + \tau) \cdot * (DX(t + \tau)) + X(t) \cdot * (DX(t))) \\ - \frac{1}{2}\tau(g_1(t) + g_1(t + \tau)), \quad t = 0, \tau, 2\tau, \dots, T - \tau, \\ X(0) = X_0. \end{cases} \quad (10)$$

上式中  $I$  是  $N$  阶单位矩阵。显然(10)式是关于  $X(t)$  的非线性方程, 通常用解非线性方程的迭代方法求其近似解。实际计算时一般用的是 Newton 迭代方法, 但计算迭代矩阵比较麻烦。为简单起见, 用如下的不动点迭代方法: 对时间方向  $t + \tau$  处构造迭代格式:

$$\begin{cases} \left( I + \frac{1}{2}\tau(B + g_1(t + \tau)C) \right) X_{n+1}(t + \tau) \\ = \left( I - \frac{1}{2}\tau(B + g_1(t)C) \right) X_n(t) - \frac{1}{2}\tau(X_{n+1}(t + \tau) \cdot * (DX_{n+1}(t + \tau)) + X_n(t) \cdot * (DX_n(t))) \\ - \frac{1}{2}\tau(g_1(t) + g_1(t + \tau)), \quad t = 0, \tau, 2\tau, \dots, T - \tau, \\ X(0) = X_0. \end{cases} \quad (11)$$

在迭代过程中给出条件: 对任给的  $\varepsilon > 0$ , 当  $|X_{n+1}(t + \tau) - X_n(t + \tau)| \leq \varepsilon$  时终止迭代, 可得  $X(t)$  在  $t + \tau$  处的值。

在(1)式中取  $\gamma = \nu = 1$ , 相应的 KdV 方程有如下孤波解[1] [10]:

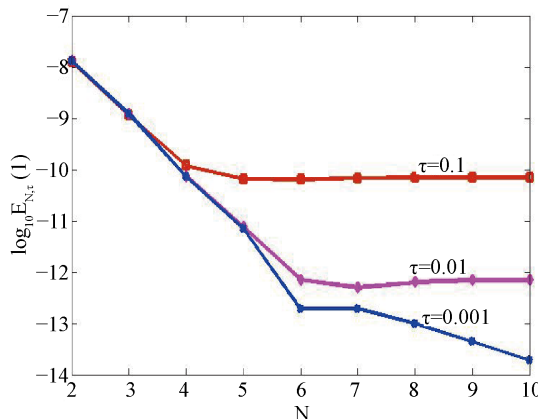
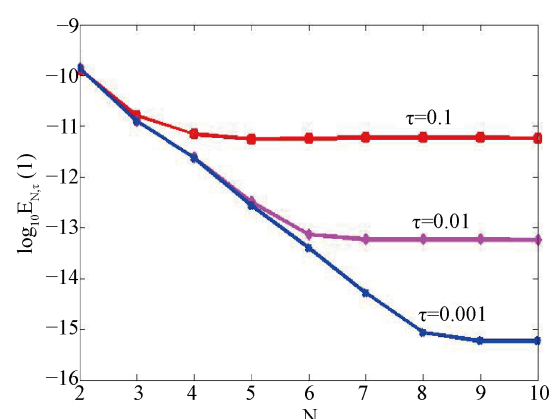
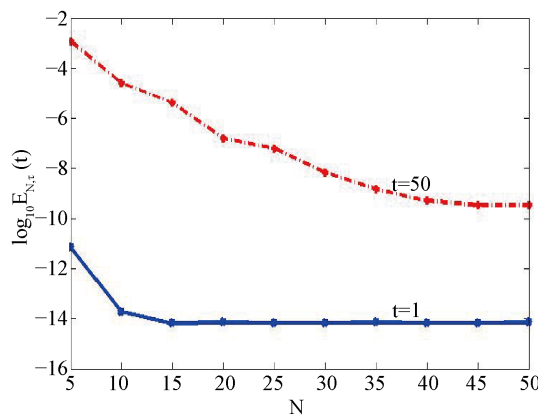
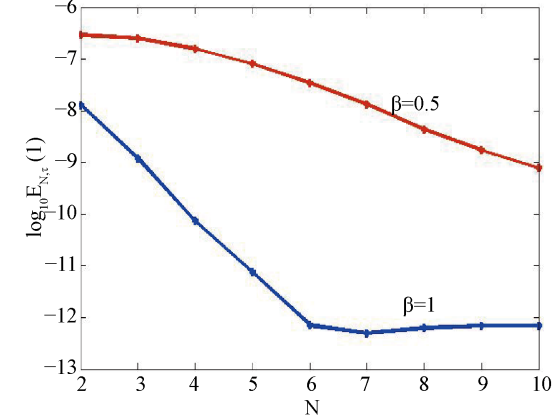
$$u = 12\kappa^2 \operatorname{sech}^2 \left( \kappa \left( x - 4\kappa^2 t - x_0 \right) \right), \quad (12)$$

上式中的  $\kappa$  和  $x_0$  是任意参数。用如下的无穷范数

$$E_{N,\tau}(t) = \max_{0 \leq j \leq N} |u(x_j, t) - w_N^{(\beta)}(x_j, t)|$$

计算数值解与理论解之间的误差。图(a)给出  $t=1$  时不同时间步长  $\tau$  对应的误差  $E_{N,\tau}(t)$  的常用对数

$\log_{10} E_{N,\tau}(t)$  随  $N$  的变化关系。可以发现, 数值误差  $E_{N,\tau}(1)$  只须空间节点数  $N \geq 8$ , 时间步长  $\tau \leq 0.001$  时, 误差即达到  $O(10^{-14})$  量级, 说明所提算法格式有谱精度; 图(b)与图(a)相比较, 就是理论解(12)中的参数  $\kappa$  由 0.3 变为 0.5, 插值函数中的伸缩因子  $\beta$  由 1 变为 1.5。可以看出, 算法格式(9)对(10)式中的参数  $\kappa$  有较强的适应性, 当  $\kappa$  较大时插值基函数中的  $\beta$  也适当的变大, 空间方向仍可以达到谱精度; 而已有的文献通常对较小的  $\kappa$  逼近精确解(10), 所以算法格式(9)对参数  $\kappa$  是稳定的, 这是所提算法的一个优点。图(c)给出时间  $t$  分别取 1 和 50 时的误差变化, 当  $t \geq 50$  时, 需要增加节点个数, 所提算法格式仍然有效。图(d)是选取插值函数中的伸缩因子  $\beta$  不同的值时的误差, 表明对孤波解而言, 当选择较大的  $\beta$  时, 数值误差  $E_{N,\tau}(1)$  会变的小一些,  $\beta$  的值通过试验得到的, 理论上还没有解决如何选取最好的  $\beta$  值。

(a)  $\beta = 1, \kappa = 0.3, x_0 = -20$ (b)  $\beta = 1.5, \kappa = 0.5, x_0 = -20$ (c)  $\beta = 1, \kappa = 0.3, x_0 = -20, \tau = 0.001$ (d)  $\kappa = 0.3, x_0 = -20, \tau = 0.01$ 

## 4. 结论

为了避免通常的等距节点 Lagrange 插值多项式当次数较高时( $N \geq 10$ )出现 Runge 现象, 而采用 Gauss 型节点构造 Lagrange 插值多项式逼近问题(1)解。考虑到问题(1)的孤波解的性态, 当  $|x| \rightarrow +\infty$  时, 其迅速衰减为零, 用含有因子  $e^{-\beta x/2}$  的插值函数可以使逼近函数与问题(1)的理论解更好的吻合, 从而得到较高精度的数值解。特别, 所给算法也适合于(10)中较大的参数  $\kappa$  及变量时间  $t$  值, 表明算法格式(9)是强健的。

## 基金项目

国家自然科学基金项目(11371123); SRTP (N.2019198)。

## 参考文献

- [1] Korteweg, D. and De Vries, G. (1895) On the Change of Form of Long Waves Advancing in a Rectangular Canal, and on a New Type of Long Stationary Waves. *Philosophical Magazine*, **39**, 422-443.  
<https://doi.org/10.1080/14786449508620739>
- [2] Kawahara, R. (1972) Oscillatory Solitary Waves in Dispersive Media. *Journal of the Physical Society of Japan*, **33**, 260-264. <https://doi.org/10.1143/JPSJ.33.260>
- [3] Kichenassamy, S. and Olver, P.J. (1992) Existence and Nonexistence of Solitary Wave Solutions to Higher-Order Model Evolution Equations. *SIAM Journal on Mathematical Analysis*, **23**, 1141-1166.  
<https://doi.org/10.1137/0523064>
- [4] 程斌. 用 Petrov-Galerkin 有限元法数值模拟 KdV 方程[J]. 数值计算与计算机应用, 1992, 13(1): 73-80.
- [5] Shen, J. (2003) A New Dual-Petrov-Galerkin Method for Third and Higher Odd-Order Differential Equations: Application to the KdV Equation. *SIAM Journal on Numerical Analysis*, **41**, 1595-1619.  
<https://doi.org/10.1137/S0036142902410271>
- [6] Aksan, E.N. and Zdes, A. (2006) Numerical Solution of Korteweg-De Vries Equation by Galerkin B-Spline Finite Element Method. *Applied Mathematics and Computation*, **175**, 1256-1265. <https://doi.org/10.1016/j.amc.2005.08.038>
- [7] 李冰冰, 王天军. Kortewego-Devries 方程的 Hermite 函数谱配置方法[J]. 应用数学进展, 2019, 8(4): 631-637.
- [8] 贾红丽, 王中庆. KdV 方程的 Chebyshev-Hermite 谱配置法[J]. 应用数学与计算数学学报, 2013, 27(1): 1-8.
- [9] 王天军. 半无界非线性热传导方程的 Laguerre 拟谱方法[J]. 应用数学与计算数学学报, 2013, 27(1): 9-15.
- [10] Shen, J., Tang, T. and Wang, L.L. (2011) Spectral Method: Algorithms, Analysis and Applications. Springer-Verlag, Berlin.
- [11] Shen, J. and Tang, T. (2006) Spectral and High-Order Methods with Applications. Science Press, Beijing.